

5315

ЭКЗ. ЧИТ. ЗАЛ.

СООБЩЕНИЯ
ОБЪЕДИНЕННОГО
ИНСТИТУТА
ЯДЕРНЫХ
ИССЛЕДОВАНИЙ

Дубна

P1 - 5315



В.Г. Гришин, Г.И. Копылов, М.И. Подгорецкий

ИНТЕРФЕРЕНЦИЯ ТОЖДЕСТВЕННЫХ ЧАСТИЦ
В ПРОЦЕССАХ С УЧАСТИЕМ РЕЗОНАНСОВ

ЛАБОРАТОРИЯ ВЫСОКИХ ЭНЕРГИЙ

1970

P1 - 5315

В.Г. Гришин, Г.И. Копылов, М.И. Подгорецкий

**ИНТЕРФЕРЕНЦИЯ ТОЖДЕСТВЕННЫХ ЧАСТИЦ
В ПРОЦЕССАХ С УЧАСТИЕМ РЕЗОНАНСОВ**

§1. В в е д е н и е

На рис. 1 изображены два неподвижных возбужденных атома, находящихся в точках a и b , и два счетчика фотонов, расположенных в точках c и d . Вероятность совпадения, при котором счетчики срабатывают соответственно в моменты t_c и t_d , дается, как известно (см., например, /1/), выражением

$$W(t_c, t_d) \approx 1 + \cos \alpha \quad (1.1)$$

$$\alpha = (\omega_a - \omega_b)(t_c - t_d) + k_a(ac - ad) + k_b(bd - bc). \quad (1.2)$$

Предположим сначала, что точка a совпадает с b или c - с точкой d . Тогда фаза $\alpha = (\omega_a - \omega_b)(t_c - t_d)$ и усреднение $W(t_c, t_d)$ по времени приводит к исчезновению интерференционного члена, если только $\omega_a \neq \omega_b$. В случае, когда $\omega_a = \omega_b$, интерференционный член не исчезает после усреднения и величина $W(t_c, t_d)$ увеличивается вдвое. Учёт затухания приводит к тому, что вероятность $\overline{W(t_c, t_d)}$ имеет пик в области

$$|\omega_a - \omega_b| \approx \gamma_a + \gamma_b,$$

где γ_a и γ_b - естественные ширины рассматриваемых переходов.

Предположим теперь, что $\omega_a = \omega_b = \omega$ и рассмотрим пространственную структуру фазы α . Тогда (1.2) принимает вид:

$$\alpha = k(ac - ad + bd - bc), \quad (1.2')$$

где $k = \frac{\omega}{c}$.

Можно показать (см., например, /2/), что в случае, когда расстояние \vec{L} между атомами и счетчиками велико по сравнению с расстояниями \vec{ab} и \vec{cd} (см. рис. 1), выражение (1.2) записывается в эквивалентной форме

$$a = \left(\frac{k}{L}\right) (\vec{ab} \cdot \vec{cd}) - \left(\frac{k}{L}\right) \frac{(\vec{ab} \cdot \vec{L})(\vec{cd} \cdot \vec{L})}{L^2}. \quad (1.2'')$$

Если ввести угол θ , под которым виден вектор \vec{cd} из точки, расположенной вблизи атомов a и b (или, что то же самое, угол между направлениями вылета фотонов), то можно также записать

$$a = k (a b \cdot \theta). \quad (1.2''')$$

Из сопоставления (1.2''') с (1.1) следует, что при $\theta=0$ вероятность регистрации W имеет максимум, угловая ширина которого определяется условием

$$k(a b \cdot \theta) \approx 1. \quad (1.3)$$

Рассмотренный простой пример показывает, что изучение энергетической корреляции между фотонами позволяет получить информацию о времени жизни источника, а изучение угловых корреляций — о его пространственной структуре ^{x/}.

Связь между указанными корреляциями и пространственно-временной структурой излучателя имеет, конечно, общее значение. В частности, она не ограничивается одними только фотонами и с соответствующими изменениями распространяется на излучение тождественных частиц любых других типов. Сказанное относится также к ядерным реакциям и к процессам с участием элементарных частиц высоких энергий. В этих случаях угловые и энергетические корреляции между вторичными тождественными

^{x/} Последнее обстоятельство используется, как известно, при определении линейных размеров звезд с помощью интерферометра Хенбери-Брауна и Твисса /3/.

венными частицами связаны с размерами области взаимодействия и длительностью процесса генерации рассматриваемых частиц.

В принципе здесь можно иметь в виду различные реакции с образованием компаунд-ядер, множественную генерацию элементарных частиц^{x/} и т.д. Очень четкая формулировка корреляционных соотношений возможна для реакций, в которых образуются нестабильные промежуточные состояния типа возбужденных ядер или резонансов элементарных частиц. В настоящем сообщении мы будем рассматривать простейший случай, когда в некоторой точке A рождается частица и резонанс, распадающийся в точке B и содержащий среди продуктов распада частицу той же природы, что и первая. Тогда точки A и B играют примерно такую же роль, как точки a и b (рис. 1), вектор \vec{AB} играет роль \vec{ab} и т.д.

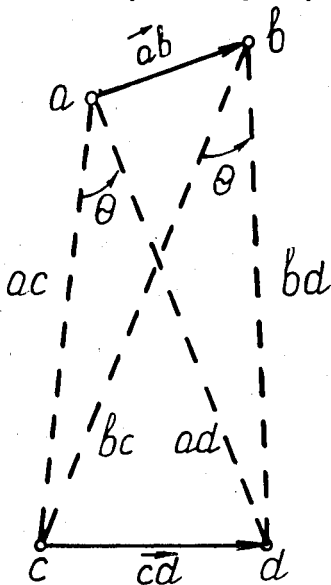


Рис. 1.

^{x/} В последнем случае аналогичный подход с несколько иной точки зрения был сформулирован ранее в работе ^{14/}. Можно показать, что он отличается от нашего подхода отсутствием учета длительности процесса излучения.

ем нерезонансного фона пренебрегаем. Знак "+" в (2.2) отвечает случаю бозонов; если бы частицы 1 и 2 были фермионами, то "+" следовало бы заменить на "-". Из вида (2.2) следует, что интерференционные явления велики при $m_{13} \approx m_{23} \approx M$. Для достаточно узких резонансов эти условия могут быть выполнены совместно с $\vec{p}_1 \approx \vec{p}_2$ и тогда можно считать, что $a(\vec{p}_0; \vec{p}_1, \vec{p}_2, \vec{p}_3) \approx a(\vec{p}_0; \vec{p}_2, \vec{p}_1, \vec{p}_3)$.

Если вместо m_{13}^2 , m_{23}^2 ввести безразмерные переменные

$$u = (m_{13}^2 - M^2)/\gamma, \quad v = (m_{23}^2 - M^2)/\gamma, \quad \gamma = M\Gamma, \quad (2.3)$$

то вероятность процесса

$$d^2W \sim \left| \frac{1}{u+i} + \frac{1}{v+i} \right|^2 du dv. \quad (2.4)$$

Плотность вероятности

$$\frac{d^2W}{du dv} \sim \frac{1}{1+u^2} + \frac{1}{1+v^2} + 2 \frac{1+uv}{(1+u^2)(1+v^2)}. \quad (2.5)$$

Линии уровня интерференционного члена

$$J = 2 \frac{1+uv}{(1+u^2)(1+v^2)}$$

на плоскости u, v показаны на рис. 3а. Они имеют положительный максимум $J=2$ при $u=v=0$, отрицательный минимум $J=-1/4$ при $u=-v=\pm\sqrt{3}$ и обращаются в нуль на гиперболах $uv=-1$. Линии уровня неинтерференционных членов $(1+u^2)^{-1}$ и $(1+v^2)^{-1}$ — прямые, параллельные осям $u=0$, $v=0$, и достигают максимума вдоль этих осей. Линии уровня плотности вероятности показаны на рис. 3б. Поскольку для изучения двумерных распределений по (u, v) требуется большая статистика, встает вопрос о наблюдении интерференции в одномерных распределениях. Взгляд на рис. 3 убеждает нас, что распределения по u или по v для этого непригодны, поскольку положительные и отрицательные интерференционные эффекты взаимно гасятся, а эффекты от квадратичных членов только накапливаются. Удобней взять другие переменные:

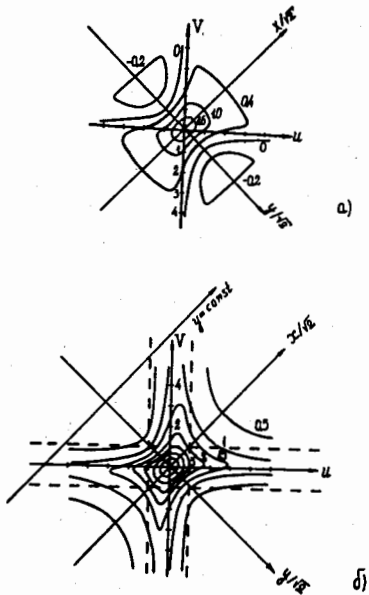


Рис. 3. а) Линии уровня интерференционного члена в переменных (u, v) . Цифры около кривых - соответствующие значения J ; б) линии уровня плотности вероятности $\frac{d^2 W}{du dv}$. Пунктирными линиями показаны области рождения резонансов.

$$x = \frac{u+v}{2} = \frac{m_{13}^2 + m_{23}^2 - 2M^2}{2y}, \quad (2.6)$$

$$y = \frac{u-v}{2} = \frac{m_{13}^2 - m_{23}^2}{2y} \cdot x/ \quad (2.7)$$

Из рис. За видно, что вдоль полос $y = \text{const}$ при малых y интерференционный эффект для разных x будет накапливаться, а при больших y отчасти гаситься. Вклад же квадратичных членов будет равен одной и той же величине - числу событий в косом сечении резонансной полосы. Зато вдоль полос $x = \text{const}$ интерференционный эффект должен быть особенно слаб. Расчет подтверждает это. С точностью до постоянного множителя

$$d^2W = \left| \frac{1}{x+y+i} + \frac{1}{x-y+i} \right|^2 dx dy. \quad (2.8)$$

Интегралы по x или y в бесконечных пределах дают

$$w(y) \equiv \frac{dW}{dy} = \int_{-\infty}^{+\infty} \frac{d^2W}{dx dy} dx = 2\pi \left(1 + \frac{1}{1+y^2} \right) \quad (2.9)$$

$$w(x) \equiv \frac{dW}{dx} = \int_{-\infty}^{+\infty} \frac{d^2W}{dx dy} dy = 2\pi \cdot \frac{xx'}{.} \quad (2.10)$$

Первое слагаемое в (2.9) обязано своим происхождением квадратичным членам, а второе - интерференции двух амплитуд в процессе (2.1). Ниже будет показано, что оно связано именно с теми угловыми и энергетическими корреляциями, которые были описаны во Введении.

^{x/} Из-за тождественности частиц 1 и 2 экспериментально может быть измерен лишь $|y|$. Мы, однако, будем считать знак y произвольным. Это не приведет к ошибкам, так как все распределения оказываются четными функциями y .

^{xx/} Результат, эквивалентный отсутствию зависимости от x , был уже в другой связи отмечен в работе /5/.

Интерференционный эффект можно заметить и в распределении по

$$r^2 = u^2 + v^2. \quad (2.11)$$

Расчет дает

$$(1+r^2)^{1/2} \left(\frac{dW}{dr^2} \right) \sim 1 + \frac{1}{1+r^2/2}. \quad (2.11')$$

В распределении по $\phi = \arctg(u/v)$ эффект отсутствует.

§3. Ограничения, налагаемые законами сохранения.

Интерференция в более сложных системах

Интерференционные эффекты - пики в распределении по y - будут наблюдаться лишь в окрестности $y=0$, то-есть при $m_{13} \cong m_{23} \cong M$. Если при этом $\vec{p}_1 \cong \vec{p}_2$, то обеспечено и равенство амплитуд. Эти три условия могут быть удовлетворены не при всяких значениях эффективной массы m_0 всех трех частиц. Наинизшее значение \bar{m}_0 найдем, приравнявая в системе покоя R энергию ω_1 в распаде $0 \rightarrow 1+R$ энергии ω_2 в распаде $R \rightarrow 2+3$:

$$(m_0^2 - M^2 - m_1^2) / 2M = (M^2 + m_2^2 - m_3^2) / 2M.$$

Имеем

$$\bar{m}_0 = (2M^2 + m_1^2)^{1/2}. \quad (3.1)$$

При этом значении m_0 спектр m_{12} впервые "захватит" область $m_{12} \cong 2m_1$, в которой $\vec{p}_1 \cong \vec{p}_2$ (см. квадрат K со стороной $\approx y$ на рис. 4). При больших m_0 равенство $\vec{p}_1 \cong \vec{p}_2$ вновь невозможно, но вплоть до $m_0 = \bar{m}_0 = (M^2 - m_1^2) / m_1$ полосы $m_{13} \cong M$ и $m_{23} \cong M$ остаются внутри фигуры Далица, и интерференция заметна. По мере удаления m_0 от \bar{m}_0 амплитуды a двух слагаемых формулы (2.2) могут все сильнее отличаться друг от друга; если предположить, что они зависят лишь

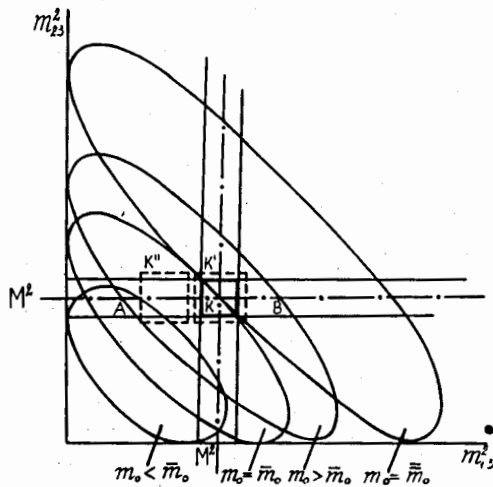


Рис. 4. Взаимное расположение фигуры Далица и резонансных полос при разных значениях m_0 . АВ - линейные размеры фигуры Далица.

от масс m_{13} , m_{23} , m_{12} , причем их зависимость от x слаба, то можно подсчитать явный вид спектра y и в этом случае

$$w(y) \sim |a(y)|^2 + |a(-y)|^2 + 2 \frac{\operatorname{Re} [a(y) a^*(-y)] - y \operatorname{Im} [a(y) a^*(-y)]}{1 + y^2}. \quad (3.2)$$

Здесь в амплитуде a отмечена ее зависимость от y .

Обсудим теперь смысл интегрирования в (2.9) по x , благодаря которому проще всего заметить интерференцию. Поскольку

$$m_{13}^2 + m_{23}^2 + m_{12}^2 = m_0^2 + m_1^2 + m_2^2 + m_3^2, \quad (3.3)$$

переменная x выражается в виде:

$$x = (m_0^2 - m_{12}^2 - 2M^2 + m_1^2 + m_2^2 + m_3^2) / 2y. \quad (3.4)$$

Интегрирование по x равносильно, следовательно, либо интегрированию по m_0^2 , либо по m_{12}^2 , либо по тому и другому вместе. В связи

с этим мыслимы разные постановки опыта, соответствующие каждой из указанных ситуаций (отбор событий с $m_{12} \approx 2m_1$ при разных m_0 или событий с $m_0 \approx \bar{m}_0$ при разных m_{12} и т.д.).

В реальных условиях опыта интегрирование по x проводится в конечных пределах, а не от $-\infty$ до $+\infty$, как предполагалось при выводе (2.9), (3.3). Когда резонанс узок, а квадрат K далек от края фигуры Далица, пределы можно считать $\pm \infty$. Но когда K лежит у края фигуры, один из пределов в (2.9) может по условиям опыта оказаться конечным. Спектр y при этом имеет вид (рис. 5)

$$\begin{aligned}
 w(y, \xi) &= \int_{\xi}^{\infty} \frac{d^2 W}{dx dy} dx = \\
 &= \left(1 + \frac{1}{1+y^2}\right) [\pi - \operatorname{arctg}(\xi+y) - \operatorname{arctg}(\xi-y)] + \\
 &+ \frac{y}{2(1+y^2)} \ln \frac{(\xi+y)^2 + 1}{(\xi-y)^2 + 1}.
 \end{aligned} \tag{3.5}$$

Отношение "эффект в нуле/эффект на бесконечности" при $\xi=0$ равно 2, при $-\xi \approx 1-3$ приближается к 4 (распределение отличается от Брейт-Вигнерова), а при $|\xi| \gg 1$ вновь стремится к 2, так как добавочное плечо кривой $w(y; \xi)$, хорошо видимое на рис. 5 при $2\xi = -7$, уходит при этом на бесконечность. На рис. 6 показаны кривые $\bar{w}(y, \xi)$, полученные суммированием x от $-\xi$ до ξ .

Оценим величину обсуждаемого эффекта. Она равна доле тех событий η , которые дадут интерференционный эффект, по отношению к полному числу событий. Из рис. 4 видно, что

$$\eta = \gamma^2 / \gamma \cdot \Delta B = \gamma / \Delta B$$

или

$$\eta = M^2 \gamma \{ [(m_0 + m_1)^2 - M^2] [(m_0 - m_1)^2 - M^2] [M^2 - (m_2 + m_3)^2] [M^2 - (m_2 - m_3)^2] \}^{-1/2}. \tag{3.6}$$

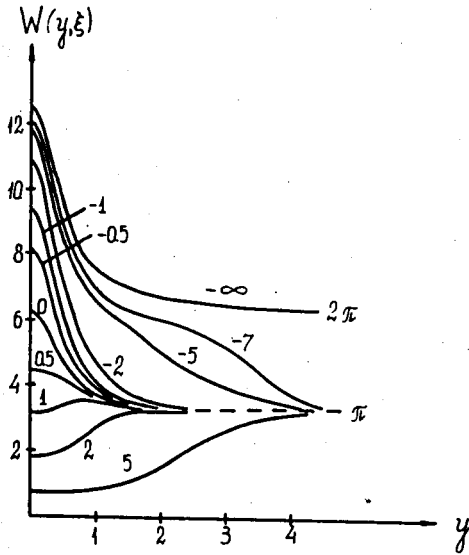


Рис. 5. Распределение по y при интегрировании по x от ξ до ∞ . На кривых указаны значения 2ξ .

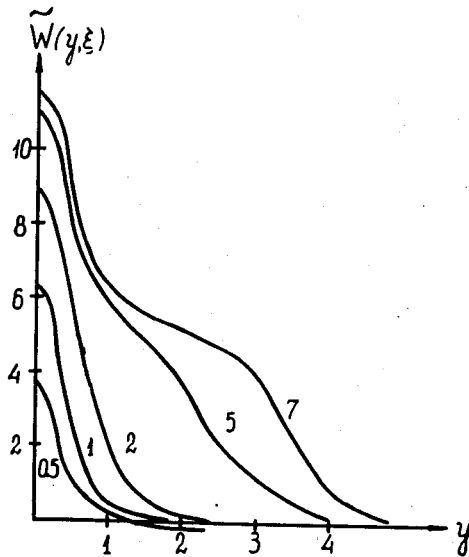


Рис. 6. Распределение по y при интегрировании по x от $-\xi$ до ξ .

В конечном счете величина эффекта определяется соотношением между шириной резонанса и энергосвыделением в процессах: $0 \rightarrow R+1$ и $R \rightarrow 2+3$.

При $m_1 = m_2 = m_3$ и $m_0 = \bar{m}_0$

$$\eta \approx \gamma / (M^2 - 4m_1^2). \quad (3.7)$$

В частности, для процесса $0 \rightarrow \phi K^+ \rightarrow K^- K^+ K^+$ получаем $\eta \approx 0,1$.

Обсуждаемые интерференционные явления имеют место не только в рассмотренном выше простейшем случае системы, состоящей из трех частиц.

Обратимся, например, к распаду резонансов на 3 частицы, например, ω^0 -мезона.

$$0 \rightarrow \pi^+ + \omega^0 \rightarrow \pi^+ + \pi^+ + \pi^- + \pi^0.$$

1 2 3 4

Конфигурации, при которых $\vec{p} \approx \vec{p}$, возникают здесь уже начиная с порога $m'_0 = m_1 + M$, когда в системе покоя R неподвижна частица 1 и может покоиться частица 2, и вплоть до энергии $\bar{m}_0 = [2M^2 + m_1^2 + m_2^2 - (m_3 + m_4)^2]^{1/2}$, когда \vec{p}_1 оказывается на поверхности сферы импульсов распада $\omega \rightarrow 2+3+4$. При больших энергиях вплоть до $\bar{m}'_0 = (M^2 - m_1^2)/(m_3 + m_4)$ конфигурации с $\vec{p}_1 = \vec{p}_2$ исчезают, но остаются те, для которых $|\vec{p}_1| = |\vec{p}_2|$ и $m_{134} = m_{234}$. Во всем этом интервале энергий (m'_0, \bar{m}_0) можно наблюдать интерференционный эффект в распределении по $y = (m_{134}^2 - m_{234}^2)/2\gamma$. Чтобы доказать это, надо только положить в формуле (2.2) массу и импульс частицы 3 равными эффективной массе и импульсу пары 3,4.

Точно так же эффект будет наблюдаться при рождении, наряду с резонансом R и частицей 1, еще и других частиц.

§4. Измерения ширины и фазы резонанса

Интерференция рожденных частиц позволяет дать другой, не зависящий от существующего способ измерения ширины узких резонансов. Кроме того, в принципе, появляется возможность промерить сдвиг фаз между амплитудами рождения резонанса и фона.

1. Интегральный метод измерения ширины резонанса

Заключим область K пересечения резонансных полос на рис. 4 в квадрат K' с заранее выбранной стороной D . Другой такой же квадрат K'' поместим на одной из резонансных полос несколько поодаль. Число событий в K' и K'' найдем, интегрируя $\frac{d^2 W}{du dv}$ по площадям квадратов. Превышение числа событий N' в K' над удвоенным числом событий ($2N''$) в квадрате K'' составляет

$$N' - 2N'' = 2a^2 \left(2y \operatorname{arctg} \frac{D}{2y} \right)^2 \quad (4.1)$$

Число событий в квадрате K'' есть

$$N'' = a^2 D \left(2y \operatorname{arctg} \frac{D}{2y} \right). \quad (4.2)$$

Мы получаем возможность измерить ширину резонанса, вычислив отношение:

$$\frac{N' - N''}{2N''} = \frac{2y \operatorname{arctg} \frac{D}{2y}}{D}.$$

Величина y есть корень уравнения

$$2y \operatorname{arctg} \frac{D}{2y} = D \frac{N' - 2N''}{2N''}. \quad (4.3)$$

Если $D \gg y$, то получаем:

$$\Gamma = \frac{D}{\pi M} \cdot \frac{N' - 2N''}{2N''}. \quad (4.4)$$

Этот способ определения ширины резонанса не зависит от точности измерения эффективных масс: неточные измерения размывают пик, но не меняют полное число событий в пике. В принципе, при достаточно большой статистике так можно измерять ширины очень узких резонансов.

Для измерения ширины резонанса можно воспользоваться и одномерным спектром $\rho = \frac{1}{2} (m_{13}^2 - m_{23}^2)$ (рис. 7). Число событий L' и L''

в двух участках спектра шириной $D > \gamma$ будет $L' \approx D + \pi\gamma$ и $L'' \approx D$, так что

$$\Gamma = \frac{D}{\pi M} \frac{L' - L''}{L''} \quad (4.5)$$

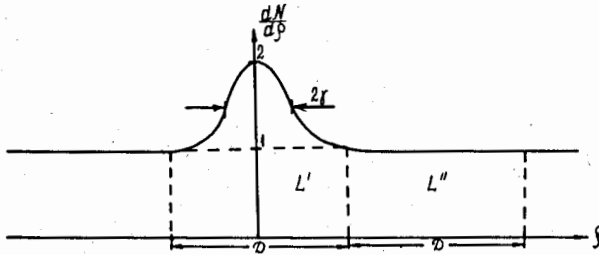


Рис. 7.

2. Измерение ширины резонанса на " предельных" конфигурациях

Кроме изложенного интегрального метода измерения ширины резонансов, можно измерять ширину пика в спектре, который, как это следует из (2.9), имеет вид $1 + (1 + \rho^2 / \gamma^2)^{-1}$. Точность общепринятого способа (по пикам в распределении по m_{13}^2) ограничена точностью измерения импульсов частиц. Точность обсуждаемого способа ограничена точностью измерения разности энергий и направлений тождественных частиц. Мы увидим, что существуют некоторые конфигурации в лабораторной системе отсчета, для которых ошибка в определении разницы энергий мало влияет на величину ρ . Так как точность угловых измерений довольно высока, то этот способ может оказаться точнее, чем обычный.

Чтобы найти указанные конфигурации, выразим величину ρ в лабораторной системе отсчета:

$$\rho = \omega_3 (\omega_1 - \omega_2) - \vec{p}_3 (\vec{p}_1 - \vec{p}_2) \quad (4.6)$$

или с учетом сохранения 4-импульса

$$\rho = \omega_0 (\omega_1 - \omega_2) - \vec{p}_0 (\vec{p}_1 - \vec{p}_2), \quad (4.7)$$

где ω_0 - энергия системы O^* ; $\omega_1, \omega_2, \omega_3$ - энергии частиц 1,2,3. Введем угол ψ между единичными векторами \vec{n}_1 и \vec{n}_2 , направленными вдоль \vec{p}_1 и \vec{p}_2 , и величины $\Delta\omega = \omega_1 - \omega_2$ и $\Delta p = |\vec{p}_1| - |\vec{p}_2|$. Пусть \vec{n} будет единичным вектором в направлении биссектрисы угла между \vec{n}_1 и \vec{n}_2 , то-есть

$$\vec{n} = (\vec{n}_1 + \vec{n}_2) / 2 \cos(\psi/2),$$

а \vec{N} - перпендикулярный к \vec{n} единичный вектор в плоскости (\vec{p}_1, \vec{p}_2) :

$$\vec{N} = (\vec{n}_1 - \vec{n}_2) / 2 \sin(\psi/2).$$

Тогда

$$\rho = (\omega_0 \Delta\omega - (\vec{p}_0 \vec{n}) \cdot \Delta p \cdot \cos \psi/2 - (|\vec{p}_1| + |\vec{p}_2|) (\vec{p}_0 \vec{N}) \sin \psi/2. \quad (4.8)$$

Структура (4.8) соответствует угловым и энергетическим корреляциям, рассмотренным во Введении.

Если ограничиться только конфигурациями, у которых $\vec{p}_1 \approx \vec{p}_2$, то можно считать $\psi \ll 1$, $|\vec{p}_1| = |\vec{p}_2| = p$, $\Delta p \ll p$ и $\Delta p = \frac{\Delta\omega}{v}$, где

v - скорость пары 1,2. В этом случае ρ имеет вид:

$$\rho = \omega_0 \Delta\omega \left(1 - \frac{\vec{v}_0 \vec{n}}{v}\right) - p (\vec{p}_0 \vec{N}) \psi, \quad (4.9)$$

где v_0 - скорость системы O в лабораторной системе координат.

Обратите внимание на конфигурации, у которых

$$v \approx \vec{v}_0 \cdot \vec{n} \quad (4.10)$$

или, что то же самое,

$$v \stackrel{\text{рез}}{=} \vec{v} \cdot \vec{n}. \quad (4.10')$$

У них коэффициент при $\Delta\omega$ может быть столь мал, что погрешность в измерении энергии не скажется на величине ρ . Можно показать, что условия (4.10)-(4.10') - это условия вылета пары 1,2 с $m_{12} \approx 2m_1$ в "распаде" $m_0 \rightarrow m_{12} + m_3$ под предельным углом. Известно, что предельный угол есть наименее вероятный угол вылета частиц в лабораторной системе. Это значит, что доля конфигураций с $v \stackrel{\text{рез}}{=} \vec{v}_0 \cdot \vec{n}$ достаточно велика. Условие (4.10') означает также, что, независимо от момента распада резонанса, частицы 1 и 2 одновременно пересекают любую плоскость, перпендикулярную направлению их вылета.

3. Измерение сдвига фаз

Мы все время пренебрегали наличием нерезонансного фона, который в случае узких резонансов часто бывает мал. Если он играет существенную роль, то интерференция амплитуд при наличии тождественных частиц позволяет измерить сдвиг фаз между амплитудой рождения резонанса и фоном. Пусть фоновая амплитуда для процесса $0 \rightarrow 1+R$ есть $Be^{i\delta}$, тогда плотность распределения на фигуре Далица можно записать в виде:

$$\frac{d^2 W}{d m_{13}^2 d m_{23}^2} = |A \left(\frac{1}{m_{13}^2 - M^2 + i\gamma} + \frac{1}{m_{23}^2 - M^2 + i\gamma} \right) + Be^{i\delta}|^2. \quad (4.11)$$

Вычислим среднюю плотность событий в трех областях, на которые фигура Далица разбивается резонансными полосами $m_{13}^2 \approx M^2$ и $m_{23}^2 \approx M^2$. Пусть ширина полос $D \gg \gamma$. Подсчитаем общее число событий вне полос (N_1), внутри их (N_2) и на их пересечении (N_3) и разделим на площади этих областей. Получим средние плотности d_1, d_2, d_3 :

$$d_1 = B^2, \quad d_2 = B^2 + \frac{\pi}{\gamma D} (A^2 - 2AB \sin \delta),$$

$$d_3 = B^2 + \frac{2\pi}{\gamma D} (A^2 - 2AB \sin \delta) + \frac{2\pi^2 A^2}{D^2}.$$

Отсюда следует, что

$$B = \sqrt{d_1}, \quad A = \frac{D}{\pi} \sqrt{\frac{1}{2}(d_1 + d_3) - d_2} \quad (4.12)$$
$$\sin \delta = [A^2 - \gamma D (d_2 - d_1) / \pi] / 2A \sqrt{d_1}.$$

Если не предполагать, что $D \gg \gamma$, то в этих формулах нужно заменить π на $2 \arctg D / 2\gamma$.

Мы признательны за ценные обсуждения Б.Н. Валуеву, И.М. Граменицкому, В.Л. Любошицу, Г. Мицельмахеру.

Л и т е р а т у р а

1. U. Fano. Am. J. Phys. 29, 539, 1961.
2. В.Г. Барышевский, М.И. Подгорецкий. ЖЭТФ, 55, 312, 1968.
3. R. Hanbury-Brown, R.Q. Twiss. Phil. Mag. 45, 633, 1954.
4. G. Goldhaber, S. Goldhaber, W. Lee, A. Pais. Phys. Rev. 120, 300 1964.
5. Christoph Schmidt. Phys. Rev., 154, 1363, 1967.

Рукопись поступила в издательский отдел
5 августа 1970 года.

Гришин В.Г., Копылов Г.И., Подгоретский М.И. P1-5315
Интерференция тождественных частиц в процессах с участием резонансов

Рассматривается интерференция тождественных частиц в процессах с участием резонансов и обсуждается возможность измерения на этой основе ширины резонансных состояний.

Сообщения Объединенного института ядерных исследований
Дубна, 1970

Grishin V.G., Kopylov G.I., Podgoretsky M.I. P1-5315

Interference of Identical Particles in the Processes
Involving the Resonances

The interference of identical particles in the processes involving the resonances is considered; the possibility of measuring, on this basis, the widths of resonance states is discussed.

Communications of the Joint Institute for Nuclear Research.
Dubna, 1970